

Blade R downlight

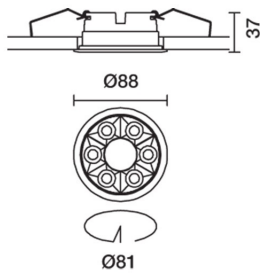
Design iGuzzini

iGuzzini

Última actualización de la información: Enero 2025

Configuraciones productos: QS16

QS16: Frame Ø 80 - Flood Beam - LED



Código producto

QS16: Frame Ø 80 - Flood Beam - LED

Descripción

Luminaria circular con 6 elementos ópticos para lámparas led - ópticas fijas El sistema óptico garantiza un elevado confort visual y la ausencia de deslumbramiento. Cuerpo con superficie radiante realizado en aluminio fundido a presión. Versión con marco perimetral de tope. Reflectores de alta definición realizados en material termoplástico metalizado con vapores de aluminio al vacío, integrados y colocados en posición retrasada respecto al apantallamiento antideslumbramiento. Incluye una unidad de alimentación conectada a la luminaria. Tapa central disponible con código separado.

Instalación

Luminaria empotrable con muelles de acero para falso techo de 1 a 25 mm - orificio de instalación Ø 80

Colores

Blanco (01) | Negro/Negro (43) | Blanco/Negro (47) | Blanco/Oro (41)* | Blanco / cromo bruñido (E7)*

Peso (Kg)

0.3

* Colores a petición

Montaje

empotrable en el techo

Equipo

Sobre la unidad de alimentación con clema de conexión incluida. Disponible en versiones DALI.

Notas

Tapa central de acabado de la luminaria a solicitar por separado - disponible en acabado estándar y con posibilidad de acabados con pintura personalizados.

Se conforma con EN60598-1 y regulaciones pertinentes



Datos técnicos

| | | | |
|---|------|---|---|
| Im de sistema: | 1204 | Life time (vida útil) LED 1: | > 50,000h - L80 - B10 (Ta 25°C) |
| W de sistema: | 14.5 | Voltaje [Vin]: | 230 |
| Im de la fuente: | 1450 | Código de lámpara: | LED |
| W de la fuente: | 12 | Número de lámparas por grupo óptico: | 1 |
| Eficiencia luminosa (lm/W, valor del sistema): | 83 | Código ZVEI: | LED |
| Im en modo emergencia: | - | Número de grupos ópticos: | 1 |
| Flujo total de emisión en un ángulo de 90° o superior [Lm]: | 0 | Factor de potencia: | Ver Hoja de instrucciones |
| Light Output Ratio (L.O.R.) [%]: | 83 | Corriente de entrada: | 5 A / 220 µs |
| Ángulo de apertura del haz de luz [°]: | 40° | Número máximo de luminarias por interruptor automático: | B10A: 81 Luminarias B16A: 130 Luminarias C10A: 135 Luminarias C16A: 221 Luminarias |
| CRI (mínimo): | 80 | % mínimo de dimerización: | 1 |
| Temperatura de color [K]: | 4000 | Control: | DALI-2 |
| MacAdam Step: | 2 | | |

Polar

| CIE nL 0.83 100-100-100-100-83 UGR <10-<10 DIN A.61 UTE 0.83A+0.00T F*1=998 F*1+F*2=1000 F*1+F*2+F*3=1000 CIBSE LG3 L<1500 cd/m ² at 65° UGR<10 L<1500 cd/mq @65° | Lux | | | | |
|---|-----|-----|-----|-----|------------------|
| | h | d1 | d2 | Em | E _{max} |
| | 2 | 1.5 | 1.5 | 536 | 684 |
| | 4 | 2.9 | 2.9 | 134 | 171 |
| | 6 | 4.4 | 4.4 | 60 | 76 |
| | 8 | 5.8 | 5.8 | 34 | 43 |

Coefficientes de uso

| R | 77 | 75 | 73 | 71 | 55 | 53 | 33 | 00 | DRR |
|------|----|----|----|----|----|----|----|----|-----|
| K0.8 | 75 | 71 | 68 | 66 | 70 | 68 | 68 | 65 | 78 |
| 1.0 | 78 | 75 | 72 | 70 | 74 | 72 | 71 | 69 | 83 |
| 1.5 | 82 | 80 | 77 | 76 | 79 | 77 | 76 | 74 | 89 |
| 2.0 | 85 | 83 | 81 | 80 | 82 | 80 | 79 | 77 | 93 |
| 2.5 | 86 | 85 | 84 | 83 | 84 | 83 | 82 | 79 | 96 |
| 3.0 | 87 | 86 | 85 | 85 | 85 | 84 | 83 | 81 | 98 |
| 4.0 | 88 | 87 | 87 | 86 | 86 | 86 | 84 | 82 | 99 |
| 5.0 | 89 | 88 | 88 | 88 | 87 | 86 | 85 | 83 | 100 |

Curva límite de luminancia

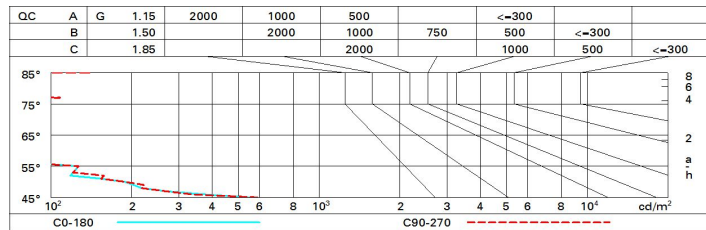


Diagrama UGR

| Corrected UGR values (at 1450 lm bare lamp luminous flux) | | | | | | | | | | | |
|---|------|------------------|------|------|------|------|----------------|------|------|------|------|
| Reflect.: | | viewed crosswise | | | | | viewed endwise | | | | |
| ceil/cav | | 0.70 | 0.70 | 0.50 | 0.50 | 0.30 | 0.70 | 0.70 | 0.50 | 0.50 | 0.30 |
| walls | | 0.50 | 0.30 | 0.50 | 0.30 | 0.30 | 0.50 | 0.30 | 0.50 | 0.30 | 0.30 |
| work pl. | | 0.20 | 0.20 | 0.20 | 0.20 | 0.20 | 0.20 | 0.20 | 0.20 | 0.20 | 0.20 |
| Room dim | | | | | | | | | | | |
| x | y | | | | | | | | | | |
| 2H | 2H | 4.3 | 4.8 | 4.5 | 5.1 | 5.3 | 4.4 | 5.0 | 4.7 | 5.2 | 5.4 |
| | 3H | 4.1 | 4.6 | 4.4 | 4.9 | 5.2 | 4.3 | 4.8 | 4.6 | 5.0 | 5.3 |
| | 4H | 4.1 | 4.5 | 4.4 | 4.8 | 5.1 | 4.2 | 4.7 | 4.5 | 5.0 | 5.3 |
| | 6H | 4.0 | 4.4 | 4.3 | 4.7 | 5.1 | 4.1 | 4.5 | 4.5 | 4.9 | 5.2 |
| | 8H | 3.9 | 4.4 | 4.3 | 4.7 | 5.0 | 4.1 | 4.5 | 4.4 | 4.8 | 5.2 |
| 12H | 3.9 | 4.3 | 4.3 | 4.6 | 5.0 | 4.0 | 4.4 | 4.4 | 4.8 | 5.1 | |
| 4H | 2H | 4.1 | 4.5 | 4.4 | 4.8 | 5.1 | 4.2 | 4.7 | 4.5 | 5.0 | 5.3 |
| | 3H | 3.9 | 4.3 | 4.3 | 4.6 | 5.0 | 4.0 | 4.4 | 4.4 | 4.8 | 5.1 |
| | 4H | 3.8 | 4.2 | 4.2 | 4.5 | 4.9 | 3.9 | 4.3 | 4.3 | 4.7 | 5.1 |
| | 6H | 3.7 | 4.0 | 4.2 | 4.4 | 4.9 | 3.9 | 4.2 | 4.3 | 4.6 | 5.0 |
| | 8H | 3.7 | 4.0 | 4.1 | 4.4 | 4.8 | 3.8 | 4.1 | 4.3 | 4.5 | 5.0 |
| 12H | 3.6 | 3.9 | 4.1 | 4.3 | 4.8 | 3.8 | 4.0 | 4.2 | 4.5 | 4.9 | |
| 8H | 4H | 3.7 | 4.0 | 4.1 | 4.4 | 4.8 | 3.8 | 4.1 | 4.3 | 4.5 | 5.0 |
| | 6H | 3.6 | 3.8 | 4.1 | 4.3 | 4.7 | 3.7 | 4.0 | 4.2 | 4.4 | 4.9 |
| | 8H | 3.5 | 3.7 | 4.0 | 4.2 | 4.7 | 3.7 | 3.9 | 4.2 | 4.3 | 4.8 |
| | 12H | 3.5 | 3.7 | 4.0 | 4.1 | 4.7 | 3.6 | 3.8 | 4.1 | 4.3 | 4.8 |
| 12H | 4H | 3.6 | 3.9 | 4.1 | 4.3 | 4.8 | 3.8 | 4.0 | 4.2 | 4.5 | 4.9 |
| | 6H | 3.5 | 3.7 | 4.0 | 4.2 | 4.7 | 3.7 | 3.9 | 4.2 | 4.3 | 4.8 |
| | 8H | 3.5 | 3.7 | 4.0 | 4.1 | 4.7 | 3.6 | 3.8 | 4.1 | 4.3 | 4.8 |
| Variations with the observer position at spacing: | | | | | | | | | | | |
| S = | 1.0H | 6.8 / -19.2 | | | | | 6.9 / -18.9 | | | | |
| | 1.5H | 9.6 / -20.8 | | | | | 9.7 / -20.2 | | | | |
| | 2.0H | 11.6 / -21.0 | | | | | 11.7 / -20.4 | | | | |